



Die Heisenberg'sche Unschärferelation

Fachdidaktische und wissenschaftliche Interpretationen

Kathrin Victoria Alpert

Hauptseminar „Schlüsselexperimente in der Quantenphysik“

Universität Ulm

19. Juni 2009

I. Fachdidaktischer Teil:

Vorstellung eines Unterrichtskonzepts in Bezug auf die
Heisenberg'sche Unschärferelation

- Quantenphysik ist Stoff des Physikunterrichts in der Oberstufe
- Schwierigster Themenbereich in der Schulphysik aufgrund formaler Komplexität und begrifflicher Problematik
- Erarbeitung eines Unterrichtskonzepts gestaltet sich ebenfalls als schwierig:
 - Wo sollen einzelne Schwerpunkte gelegt werden?
 - Wie soll der Unterrichtsstoff vermittelt werden?

Lernschwierigkeiten und Fehlvorstellungen

- Schüler sind von der klassischen Physik geprägt und haben somit gewisse Fehlvorstellungen bezüglich der Quantenphysik
- Quantenmechanik geht über die alltäglichen Vorstellungen hinaus
- Im Hinblick auf die Heisenberg'sche Unbestimmtheitsrelation ist mit folgenden Lernschwierigkeiten bzw. Begriffsschwierigkeiten zu rechnen:
- Δx , Δp seien Messungenauigkeiten:
 - Abstand des gemessenen Wertes vom eigentlichen, wahren Wert:
 - Unkenntnis über den Ort der Messung
- Genauigkeit einer Ortsmessung gibt Genauigkeit einer Impulsmessung vor (d.h. gegenläufiges Verhalten von x und p)

Was ist „MILQ“ ?

- „MILQ“ bedeutet:
Münchner **I**nternetprojekt zur **L**ehrerfortbildung in **Q**uantenmechanik
- Fachdidaktisches Konzept zur Quantenphysik in der Oberstufe
- Stellt einen Plan dar, wie die Quantenphysik in der Schule vermittelt werden kann und welche Inhalte gelehrt werden sollen
- Unabhängig von Lehrplänen
- Kann individuell in den Lehrplan integriert werden

Fachdidaktische Unterrichtskonzepte haben unterschiedliche Schwerpunkte:

- ① Konzentration auf die Prinzipien des quantenmechanischen Formalismus (z.B. Feynman-Zeiger)
- ② Schwerpunkt auf begriffliche Fragestellungen der Quantenphysik
- ③ Quantenphysik als Basis für das Verständnis anderer physikalischer Themen (z.B. Atomphysik, Festkörperphysik, Kernphysik usw.)
- ④ Quantenphysik als Grundlage für technologische Anwendungen (z.B. Laser)

Hier ist der Schwerpunkt auf begriffliche Fragestellungen gelegt:

- Münchner Internetprojekt besteht aus zwei Hauptteilen
 - qualitativer Basiskurs:
Deutungssfragen der Quantenphysik
 - quantitativer Aufbaukurs:
Einblicke in die formalen Strukturen der Quantenmechanik
- Aufbau als Spiralcurriculum:
- Zentrale Punkte werden zweifach durchlaufen

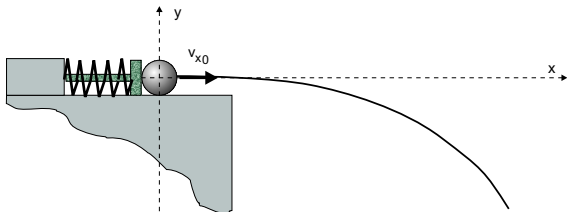
- Einführung der Wahrscheinlichkeitsinterpretation mit Hilfe des Begriffs „Präparation“
- Qualitative und quantitative Einführung der Heisenberg'schen Unbestimmtheitsrelation:
 - Motivation durch Analogie zur klassischen Physik
 - Veranschaulichung durch viele Gedanken-Experimente oder Computersimulationen
 - Saubere Definition der Begriffe: Zum Schluss soll die Heisenberg'sche Unbestimmtheitsrelation eine untere Schranke für die gleichzeitige Präparation von Ort und Impuls sein

Vorstellung des Kapitels aus dem Unterrichtskonzept zur
Heisenberg'sche Unbestimmtheitsrelation

Motivation: In der klassischen Mechanik wird die Bewegung eines Objekts durch seine Bahnkurve beschrieben

- Beispiel: Waagrechtter Wurf
- Kugel bewegt sich auf derselben Bahn, falls die Anfangsbedingungen gleich sind
- Voraussetzung: Identischer Wert von Abschusort und Abschussgeschwindigkeit

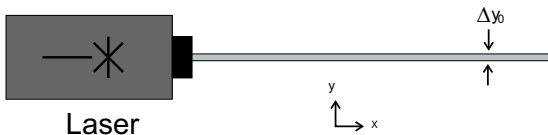
- Bau einer Abschussvorrichtung:



- Gleichzeitige Präparation von Ort und Impuls
- Begriff „Präparation“: Bei Messung der präparierten Größe an einem Ensemble von Teilchen verschwindet die Streuung der Messwerte bzw. wird sehr klein

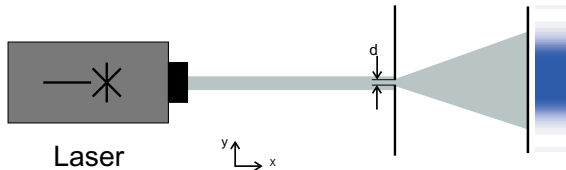
Übergang zu Quantenobjekten

- Unmöglichkeit der gleichzeitigen Präparation von Ort und Impuls bei Quantenobjekten
- Versuch: Quantenobjekte sind die Photonen eines monochromatischen Laserstrahls



- Strahl ist gut gebündelt $\rightarrow \Delta p_y = 0$
- Strahl hat eine gewisse Breite in y -Richtung
- Photonen sind im Bereich der Breite Δy_0 zu finden
- \Rightarrow Es gibt ‚Streuung‘ im mathematischen Sinn
- Photonen sind nicht auf die Ortskomponente y präpariert

- Abhilfe: Verminderung der Streuung, in dem man einen engen Spalt in den Laserstrahl einführt



- Δy_0 kleiner, aber Aufweitung des Strahls
- $\Rightarrow \Delta p_y = 0$ geht verloren
- Qualitative Formulierung der Heisenberg'schen Unbestimmtheitsrelation: Es ist nicht möglich, ein Ensemble von Quantenobjekten gleichzeitig auf Ort und Impuls zu präparieren

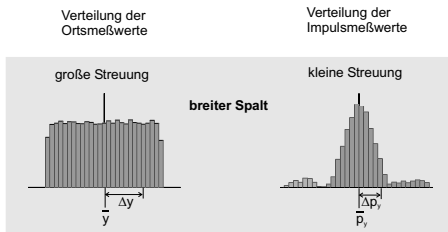
Übergang zur quantitativen Formulierung der Heisenberg'schen Unbestimmtheitsrelation:

In welchem *Ausmaß* sind Orts- und Impulspräparation unvereinbar?

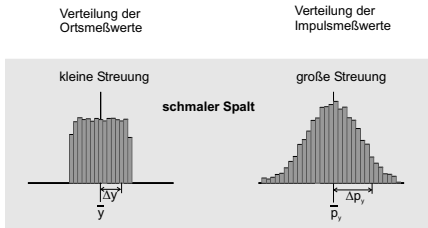
- Frage nach den Grenzen einer idealen Präparation
- Experiment Elektronenbeugung am Einzelspalt:
- Variation der Spaltbreite bewirkt Veränderung der Breite des Interferenzmusters
- Bestimmung der „Ortsstreuung“ und „Impulsstreuung“:
 - An Ensemble 1: Ortsmessung in der Spaltebene
 - An Ensemble 2: Ortsmessung in der Schirmebene ergibt Impulsmessung

Ergebnisse:

- Breiter Spalt: große Ortsstreuung, aber kleine Impulsstreuung

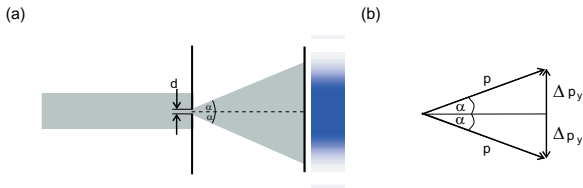


- Schmaler Spalt: kleine Ortsstreuung, aber große Impulsstreuung



- Orts- und Impulsstreuung scheinen reziprok miteinander verknüpft zu sein
- Veranschaulichung durch Gedankenexperiment:
- Quelle präpariert die Elektronen mit der Eigenschaft „Impuls“
- Durch die Beugung am Spalt geht die Impulseigenschaft verloren
- Mit der Breite des Beugungsmusters kann die Streuung der Impulsmesswerte am Spalt abgeschätzt werden

- Großteil der Elektronen befindet sich innerhalb des Hauptmaximums der Beugungsfigur, d.h. innerhalb des Winkelbereichs $+\alpha$ und $-\alpha$:



- \rightarrow Abschätzung der Impulse Δp_y in diesem Bereich
- Aus Abbildung b) gilt:

$$\Delta p_y = p \cdot \sin \alpha \quad (1)$$

- Aus der klassischen Optik ist der Bereich des Hauptmaximums bekannt, der durch die ersten Beugungsminima begrenzt ist

$$\sin \alpha = \frac{\lambda}{d} \quad (2)$$

- Bei den Elektronen ist λ die de-Broglie-Wellenlänge: $\lambda = \frac{h}{p}$
- Somit gilt:

$$\sin \alpha = \frac{h}{p \cdot d} \quad (3)$$

- Eliminierung von $\sin \alpha$ aus (1) und (3) ergibt

$$\frac{h}{p \cdot d} = \frac{\Delta p_y}{p}$$

- Multiplikation auf beiden Seiten mit p und Abschätzen der Streuung Δy durch die Spaltbreite d liefert

$$\Delta y \cdot \Delta p_y \approx h$$

- \Rightarrow Diese Gleichung verknüpft bei diesem Beispiel die Streuungen der Orts- und Impulskomponente

- Allgemeine Formulierung der Heisenberg'schen Unbestimmtheitsrelation:
- Wurde ein Ensemble von Quantenobjekten so präpariert, dass die Streuung der Ortsmesswerte Δy klein ist, wird die Streuung der Impulsmesswerte Δp_y groß sein (und umgekehrt):

$$\Delta y \cdot \Delta p_y \geq \frac{h}{4\pi}$$

- Fehlvorstellung bei der Überlegung am Einzelspalt:
- Es wird suggeriert, dass ein Ensemble mit großer Ortsstreuung automatisch eine kleine Impulsstreuung aufweist
- Auch beide Eigenschaften können schlecht präpariert sein
- Heisenberg'sche Unbestimmtheitsrelation:
Untere Schranke für die gleichzeitige Präparation von Ort und Impuls

II. Wissenschaftlicher Teil

- ① Herleitung der Heisenberg'schen Unschärferelation aus einem Gauß'schen Wellenpaket
→ Expansion kalter Atome
- ② Quantenmechanische Beschreibung des Lichts
- ③ Darstellung verschiedener Zustände:
 - Vakuumzustand
 - Kohärenter Zustand
 - Gequetschter Zustand
- ④ Anwendungsbeispiel gequetschter Zustände
- ⑤ Prinzip der Komplementarität

Heisenberg-Unschärfe aus Gauß-Wellenpaket

- Man betrachtet ein QM-Teilchen am Ursprung mit Impuls $p = \hbar k$.
- Wellenfunktion wird durch eine Gaußfunktion beschrieben:

$$\psi(x, 0) = \frac{1}{\sqrt{a}\sqrt{\pi}} e^{-\frac{x^2}{2a^2}} e^{ik_0x}$$

- Zeitliche Dynamik kann sehr einfach im Impulsraum dargestellt werden \rightarrow Fouriertransformation:

$$\tilde{\psi}(k) = \mathcal{F}[\psi(x)] = \frac{1}{\sqrt{2\pi}} \int_{-\infty}^{\infty} \psi(x) e^{-ikx} dx$$

Heisenberg-Unschärfe aus Gauß-Wellenpaket

- Ort- und Impulsbreite werden definiert als der Wert, wo $|\psi(x, 0)|^2$ bzw. $|\tilde{\psi}(k)|^2$ auf den Wert $\frac{1}{e}$ abgefallen ist
- Man erhält dann

$$\Delta x = \frac{a}{2}$$
$$\Delta k = \frac{\Delta p}{\hbar} = \frac{1}{\sqrt{2}a}$$

- Für das Produkt aus Orts- und Impulsbreite erhält man

$$\Delta x \cdot \Delta p = \frac{\hbar}{2}$$

- Gleichheitszeichen gilt, da ψ Gaußfunktion ist und $\tilde{\psi}$ ebenfalls
→ Minimale Unschärfe!
- Bei anderen Amplituden gilt die Heisenberg'sche Unschärferelation

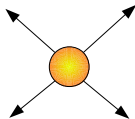
$$\Delta x \cdot \Delta p \geq \frac{\hbar}{2}$$

Expansion kalter Atome

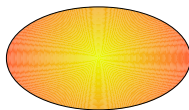
- Kühlen von Atomen in den Grundzustand
→ Kälter geht es nicht!
- Anschließende Expansion
→ Betrachtung der Impulsverteilung, bei der die Anfangsgeschwindigkeit gegeben war
- Langsamere Atome in der Mitte, schnellere fliegen weiter nach außen
→ Es gibt eine Geschwindigkeitsverteilung!



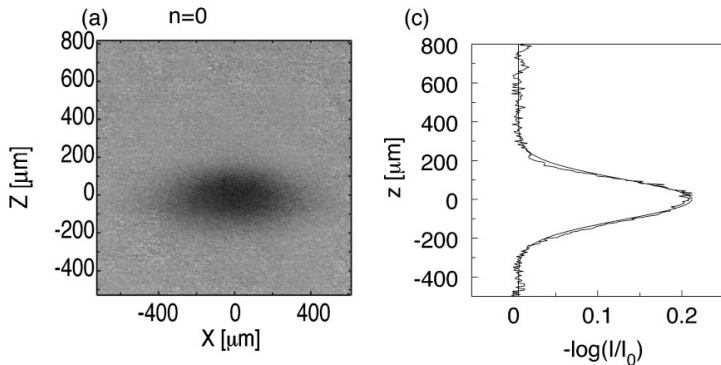
$|n = 0\rangle$



Expansion



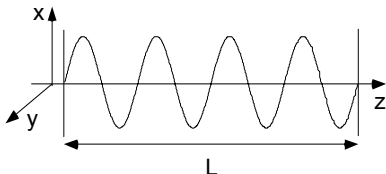
Impulsverteilung



Impulsverteilung und Geschwindigkeitsverteilung

Klassische Beschreibung von Lichtfeldern

- Quantenmechanische Beschreibung des Lichtes: Herleitung über das klassische Lichtfeld
→ Ausgangspunkt: Maxwell-Gleichungen für den strom- und ladungsfreien Raum
- Lösungen der Maxwell-Gleichungen sind abhängig von den Randbedingungen
- Einfachstes Beispiel: Lichtmode in einem Volumen, welches durch zwei unendlich gut leitende Platten begrenzt ist:



- Licht breitet sich entlang der z -Achse aus

- Für das elektrische Feld gilt dann

$$E_x(z, t) = \sqrt{\frac{2\omega^2}{\epsilon_0 V}} \cdot q(t) \cdot \sin(kz)$$

mit $q(t)$ als zeitabhängige Amplitude.

- Für das Magnetfeld erhält man aus der zweiten Maxwell'schen Gleichung

$$B_y(z, t) = \frac{1}{c^2 k} \sqrt{\frac{2\omega^2}{\epsilon_0 V}} \cdot \dot{q}(t) \cdot \cos(kz)$$

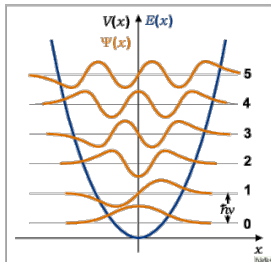
- Klassische elektromagnetische Energie einer ebenen Welle im Volumen V ist gegeben durch

$$H = \frac{1}{2} \int \left(\varepsilon_0 E_x^2(z, t) + \frac{1}{\mu_0} B_y^2(z, t) \right) dV$$

- Erinnerung an die Energie des harmonischen Oszillators für ein Teilchen mit Masse m :

$$H = \frac{p^2}{2m} + \frac{1}{2} m \omega^2 q^2$$

mit $p = \dot{q}$



- Quantisierung: p , q werden als Operatoren \hat{p} , \hat{q} aufgefasst
- Alle klassischen Größen werden ebenfalls zu Operatoren:

$$H \rightarrow \hat{H} = \frac{\hat{p}^2}{2m} + \frac{1}{2}m\omega^2\hat{q}^2$$

$$E \rightarrow \hat{E}_x(z, t) = \sqrt{\frac{2\omega^2}{\epsilon_0 V}} \cdot \hat{q}(t) \cdot \sin(kz)$$

$$B \rightarrow \hat{B}_y(z, t) = \frac{1}{c^2 k} \sqrt{\frac{2\omega^2}{\epsilon_0 V}} \cdot \hat{p}(t) \cdot \cos(kz)$$

Quantenmechanische Beschreibung des HO

- Einführung des Erzeuger- und Vernichtersoperators \hat{a} , \hat{a}^\dagger mit

$$\hat{a} = \frac{1}{\sqrt{2}} \left\{ \sqrt{\frac{m\omega}{\hbar}} \hat{q} + \frac{i}{m\hbar\omega} \hat{p} \right\}$$
$$\hat{a}^\dagger = \frac{1}{\sqrt{2}} \left\{ \sqrt{\frac{m\omega}{\hbar}} \hat{q} - \frac{i}{m\hbar\omega} \hat{p} \right\}$$

- Aus der Heisenberg-Vertauschungsrelation $[\hat{q}, \hat{p}] = i\hbar$ wird die bosonische Vertauschungsrelation $[\hat{a}, \hat{a}^\dagger] = 1$
- Für Orts- und Impulsoperator gilt dann

$$\hat{q} = \sqrt{\frac{\hbar}{2m\omega}} \cdot (\hat{a}^\dagger + \hat{a})$$
$$\hat{p} = i\sqrt{\frac{m\hbar\omega}{2}} \cdot (\hat{a}^\dagger - \hat{a})$$

- Einsetzen von \hat{a} , \hat{a}^\dagger in den Operator für elektrische Feld ergibt

$$\hat{E}(z, t) = \hat{E}(\chi) = \sqrt{\frac{\hbar\omega}{2\varepsilon_0 V}} (\hat{a}e^{-i\chi} + \hat{a}^\dagger e^{i\chi})$$

mit $\chi = \omega t - kz - \frac{\pi}{2}$

- Für das magnetische Feld erhält man analog

$$\hat{B}(z, t) = \hat{B}(\chi) = \frac{1}{c^2 k} \sqrt{\frac{\hbar\omega}{2\varepsilon_0 V}} (\hat{a}e^{-i\chi} - \hat{a}^\dagger e^{i\chi})$$

mit $\chi = \omega t - kz - \frac{\pi}{2}$

- \hat{a}, \hat{a}^\dagger sind keine hermiteschen Operatoren
→ keine beobachtbare bzw. messbare Größen
- Finde einen Ausdruck für \hat{H} in der Form $\hat{H} = \frac{\hat{p}^2}{2m} + \frac{1}{2}m\omega^2\hat{q}^2$
mit hermiteschen Operatoren
- Analog zu \hat{p} und \hat{q} definiert man jeweils für eine Feldmode
mit Frequenz ω :

$$\hat{X} = \frac{1}{2}(\hat{a}^\dagger + \hat{a})$$

$$\hat{Y} = \frac{1}{2}i(\hat{a}^\dagger - \hat{a})$$

- $\Rightarrow \hat{H} = \hbar\omega(\hat{X}^2 + \hat{Y}^2)$
mit $\hat{a} = \hat{X} + i\hat{Y}$ und $\hat{a}^\dagger = \hat{X} - i\hat{Y}$

- Für die Heisenberg-Relation gilt somit:

$$[\hat{X}, \hat{Y}] = \frac{i}{2}$$
$$\Delta \hat{X}^2 \cdot \Delta \hat{Y}^2 \geq \frac{1}{16}$$

- Die Erwartungswerte von \hat{X} und \hat{Y} nennt man *Quadraturkomponenten* des elektromagnetischen Feldes
- In der Fock-Basis erhält man für die Erwartungswerte der Quadraturkomponenten

$$\langle n | \hat{X} | n \rangle = \langle n | \hat{Y} | n \rangle = 0$$

- Für die Varianzen gilt

$$(\Delta \hat{X})^2 = (\Delta \hat{Y})^2 = \frac{1}{2} \left(n + \frac{1}{2} \right)$$

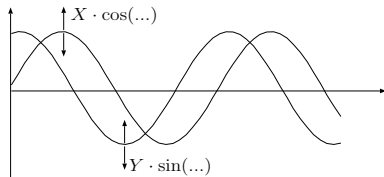
Elektrisches Feld im Quadraturkomponenten

- Einsetzen der Quadraturoperatoren in das elektrische Feld ergibt

$$\hat{E}(z, t) = \hat{E}(\chi) = 2\sqrt{\frac{\hbar\omega}{2\varepsilon_0 V}}(\hat{X} \cos(\chi) + \hat{Y} \sin(\chi))$$

mit $\chi = \omega t - kz - \frac{\pi}{2}$

- Veranschaulichung an einer klassischen Welle: Jede beliebige Welle mit Frequenz ω ist an einen Ort r aus zwei Wellen zusammensetzbar, welche um $\frac{\pi}{2}$ phasenverschoben sind



Vakuum-Zustände

- Hier befindet sich kein Photon im Feld
- Für den Eigenwert der Photonenzahl im Vakuum-Zustand $|0\rangle$ gilt dann:

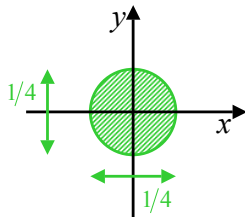
$$\langle 0 | = 0$$

- aber

$$\langle \hat{E}_{\text{Vakuum}} \rangle = 0$$

$$\langle \Delta \hat{E}_{\text{Vakuum}}(x) \rangle^2 = \langle \Delta \hat{E}^2(x) \rangle - \langle \Delta \hat{E}(x) \rangle^2 = \frac{1}{4}$$

- Es gibt Vakuum-Fluktuationen!



- Eigenzustände des HO haben eine gleichverteilte Phase
→ nicht geeignet, um Laserstrahlung zu beschreiben
- Kohärenter Zustand:
Vakuumzustand $|0\rangle$, der im Phasenraum um die kohärente Amplitude verschoben wurde
- Ebenfalls ein Zustand minimaler Unschärfe
- Einführung des Verschiebeoperators

$$\hat{D}(\alpha) = e^{\alpha\hat{a}^\dagger - \alpha^*\hat{a}}$$

- Kohärenter Zustand ist definiert als

$$|\alpha\rangle = \hat{D}(\alpha) |0\rangle$$

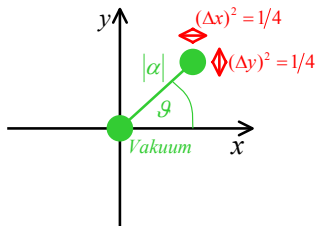
Eigenschaften kohärenter Zustände

- Erwartungswert des elektrischen Feldes für die α -Zustände:

$$\langle \alpha | \hat{E}(\chi) | \alpha \rangle = 2|\alpha| E_0 \sin(\chi)$$

- Für die Varianz gilt analog zum Vakuum-Zustand

$$\langle \Delta \hat{E}_\alpha(\chi) \rangle^2 = \langle \Delta \hat{E}^2(\chi) \rangle - \langle \Delta \hat{E}(\chi) \rangle^2 = \frac{1}{4}$$



- Ausgangssituation:
Alle Lichtzustände haben Unschärfe in beiden Quadraturkomponenten \hat{X}, \hat{Y}
- Einführung von „gequetschtem“ Licht:
Das Rauschen von **einer** der beiden Quadraturkomponenten soll verringert werden
- Das Rauschen der Amplitude wird auf Kosten des Phasenrauschens minimiert und umgekehrt
- \Rightarrow Eine Schärfe nimmt zu, die andere Schärfe nimmt dafür ab

- Wie erzeugt man gequetschtes Licht?
- \Rightarrow Anwenden des Squeezing-Operators auf den Vakuum-Zustand, dann Verschieben mit dem Verschiebe-Operator
- Formal bedeutet das

$$|\alpha, \xi\rangle = \hat{D}(\alpha)\hat{S}(\xi)|0\rangle$$

- mit

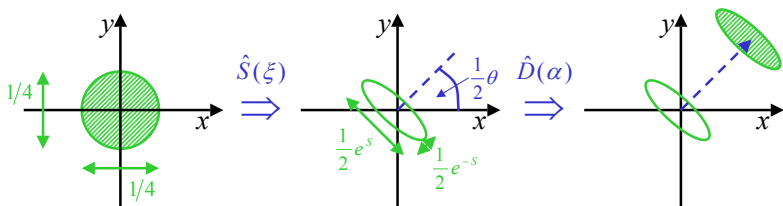
$$\hat{D}(\alpha) = e^{\alpha\hat{a}^\dagger - \alpha^*\hat{a}}$$

$$\hat{S}(\xi) = e^{\frac{1}{2}\xi(\hat{a})^2 - \frac{1}{2}\xi(\hat{a}^\dagger)^2}$$

und $\xi = s \cdot e^{i\theta}$, $\xi \in \mathbb{C}$

Erzeugung gequetschter Zustände

- Dabei ist s der Squeezing-Parameter und $0 \leq \theta \leq 2\pi$ die gequetschte Quadratur
- Im Phasenraum kann man sich die Erzeugung von gequetschtem Licht so veranschaulichen:



Eigenschaften gequetschter Zustände

- Eigenwerte der Quadraturkomponenten unabhängig von der Quetschung des Lichtes
→ identisch mit dem kohärentem Zustand
- Aber: Wegen unterschiedlicher Quetschung in beiden Quadraturkomponenten sind die Varianzen verschieden
- Es gilt also

$$\langle \alpha\xi | \hat{X} | \alpha\xi \rangle = \operatorname{Re} \alpha = |a| \cos \phi$$

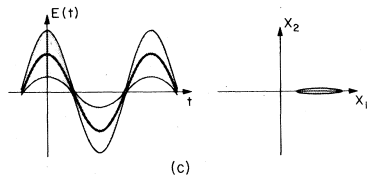
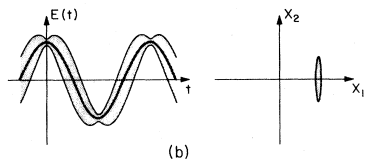
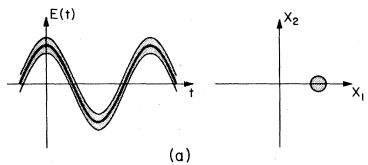
$$\langle \alpha\xi | \hat{Y} | \alpha\xi \rangle = \operatorname{Im} \alpha = |a| \sin \phi$$

$$(\Delta \hat{X})^2 = \frac{1}{4} [e^{2s} \sin^2(\frac{\theta}{2}) + e^{-2s} \cos^2(\frac{\theta}{2})]$$

$$(\Delta \hat{Y})^2 = \frac{1}{4} [e^{2s} \cos^2(\frac{\theta}{2}) + e^{-2s} \sin^2(\frac{\theta}{2})]$$

→ Ein Ausdruck nimmt ab, der andere dafür zu!

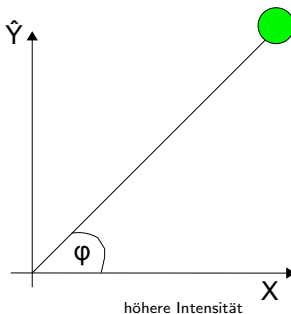
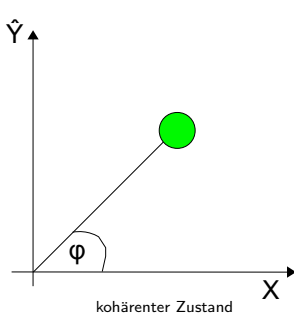
Visualisierung der einzelnen Zustände



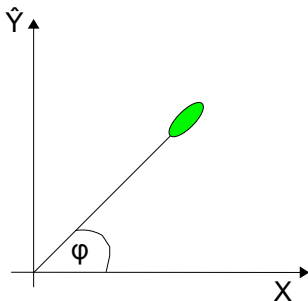
- a) Kohärenter Zustand:
Kommt so aus jedem Laser
- b) Gequetscher Zustand mit $s > 0$: Gut um die Lichtintensität zu messen
- c) Gequetscher Zustand mit $s < 0$: Gut um die Phase des Lichtfeldes zu messen → Wichtig für ein Interferometer!

Anwendungen gequetschter Zustände

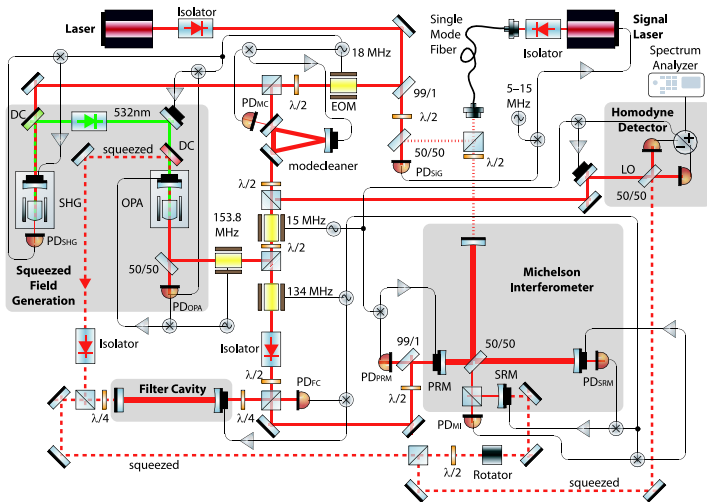
- Messung von Gravitationswellen in einem Interferometer
- Zwei fundamentale Quellen des Quantenrauschens legen die Empfindlichkeit eines solchen Interferometers fest:
 - photon-counting-error
 - radiation-pressure-error → zu hohe Intensitäten auch schlecht!



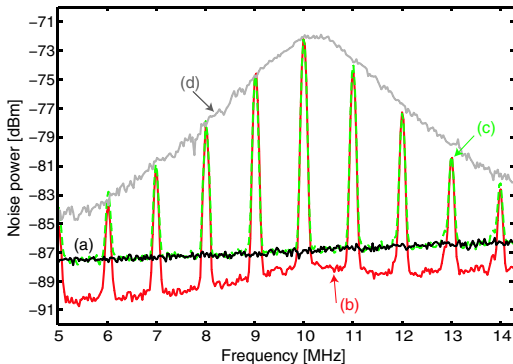
- Abhilfe: Erzeugung gequetschten Lichts im Interferometer
→ Der photon-counting-error soll klein werden (d.h. Unterdrückung der Photonen-Statistik $\frac{1}{\sqrt{N}}$)



Schema des Interferometers



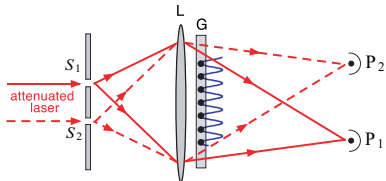
- Bessere Messung der Nulldurchgänge
→ Rauschen der Phase wird reduziert:



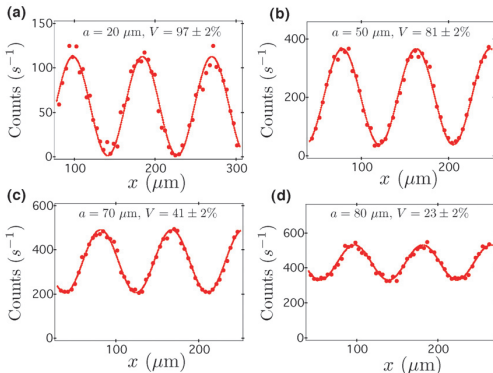
- Linie b): Rauschen bei gequetschtem Licht → Unterhalb des normalen Schrotrauschens
- Peaks bedeuten, dass nur bestimmte Frequenzen gequetscht werden

- Was bedeutet der Begriff „Komplementarität“?
- Quantenmechanische Objekte können sich bei verschiedenen experimentellen Bedingungen als Teilchen oder Welle verhalten
- „wave-like-behaviour “ \leftrightarrow „two-way-behaviour“
- Doppelspalt-Experiment:
Es gibt zwei Möglichkeiten:
 - Einzelnes Elektron kann durch beide Spalte gehen
→ Interferenz
 - Anbringen eines „Which-Way-Detektors“
→ Interferenz verschwindet
- Heisenberg'sche Unschärferelation sagt hier: Δx wird kleiner
⇒ Interferenz verschwindet

- Experiment von Grangier-Roch:



- Resultat: Je mehr Weginformation, desto weniger Interferenz

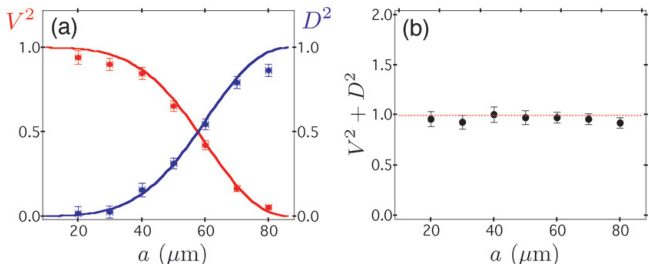


- „Verallgemeinerte“ Heisenberg'sche Unschärferelation:

$$V^2 + D^2 \leq 1$$





mit D = Distinguishability und V = Visibility






- Hierbei gilt die folgende Beziehung:



- Wenn ein deutliches Interferenzmuster zu sehen ist, d.h. V groß ist, dann ist die Weginformation (D) klein
- Ansonsten sind die Verhältnisse umgekehrt

Vielen Dank für die Aufmerksamkeit!

-  Müller, Rainer und Wiesner, Hartmut: Das Münchner Unterrichtskonzept zur Quantenmechanik, http://www.didaktik.physik.uni-muenchen.de/materialien/inhalt_materialien/milq/muc_unterricht.pdf
-  Internetseite von MILQ (Münchner Internetprojekt zur Lehrerfortbildung in Quantenmechanik), <http://www.cip.physik.uni-muenchen.de/~milq/>
-  Lehrtext zu MILQ, <http://www.cip.physik.uni-muenchen.de/~milq/kap1/images/Lehrtext%20milq.pdf>
-  Quantum-mechanical noise in an interferometer, Phys. Review Letters, Vol.23 (8), 1981

-  Demonstration of a Squeezed-Light-Enhanced Power- and Signal-Recycled Michelson Interferometer, Phys. Review Letters Vol.95 (211102), 2005
-  Neutral atoms prepared in Fock states of a one-dimensional harmonic potential, Phys. Review Letters, Vol. 59 (1), 1999
-  Squeezed-Light-Enhanced-Polarization Interferometer, Phys. Review Letters, Vol. 59 (19), 1987
-  Illustration of quantum complementarity using single photons interfering on a grating, New Journal of Physics, Vol. 10 (2008)
-  Schleich, Wolfgang: Quantum Optics in Phase Space, Wiley-VCH, 2000





-  Zimmermann, Claus: Skript zur Quantenoptik, Universität Tübingen, <http://www.pit.physik.uni-tuebingen.de/zimmermann/lehre/skripten/Quantenoptik.pdf>
-  Samblowski, Aiko: Verschränkung kontinuierlicher Variablen von Seitenbändern optischer Felder, http://www.aei.mpg.de/pdf/diploma/ASamblowski_07.pdf
-  Sengstock, Klaus; Schmidt, Malte: Quantenoptik und Atomoptik, Vorlesungsskript WS 2004/05, Universität Hamburg, <http://www.physnet.uni-hamburg.de/ilp/de/qoptik/quantenoptik-skript-10-05.pdf>
-  Sengstock, Klaus: Vortragsfolien der Vorlesung Quantenoptik und Atomoptik, Universität Hamburg, http://www.physnet.uni-hamburg.de/ilp/de/qoptik_07_08/Kapitel1_07_08.pdf



Abbildung für den harmonischen Oszillator:

<http://topcat.iit.bme.hu/~fercsi/docs/books/Mathematik-Kompendium/daten/bilder/kap09/t1/109a021.gif>